

Tabela 1. Przyżyciowe wyniki tuczu w badanych grupach

Wyszczególnienie		Badane grupy	
		K	D
Liczba zwierząt,	n		
- początkowa		75	75
- końcowa		73	71
Masa ciała zwierząt,	kg		
- na początku tuczu		31,29 ± 2,93	31,12 ± 3,58
- na końcu I fazy tuczu		73,15 ± 8,11	73,05 ± 7,90
- na końcu tuczu (przy uboju)		111,90^a ± 6,31	114,29^b ± 4,45
Dni tuczu,	dni		
- w I fazie tuczu		46,00 ± 0,00	46,00 ± 0,00
- w II fazie tuczu		42,02 ± 7,41	41,37 ± 6,72
- w całym okresie tuczu		88,01 ± 7,41	87,37 ± 6,73
Przyrosty całkowite zwierząt,	kg		
- w I fazie tuczu		41,86 ± 6,91	41,93 ± 6,26
- w II fazie tuczu		38,75^a ± 6,48	41,24^b ± 7,47
- w całym okresie tuczu		80,60^a ± 6,30	83,17^b ± 5,43
Przyrosty dobowe zwierząt,	g		
- w I fazie tuczu		909 ± 150	912 ± 136
- w II fazie tuczu		941^a ± 174	1002^b ± 139
- w całym okresie tuczu		924^a ± 127	957^b ± 94

a, b – różnice statystycznie istotne, $P \leq 0,05$

Tabela 2. Pobranie i wykorzystanie paszy przez badane zwierzęta

Wyszczególnienie		Badane grupy	
		K	D
Liczba badanych zwierząt,	n	73	71
Łączna ilość pobranej paszy	kg	18151,01	17877,66
Łączna ilość zrealizowanego przyrostu	kg	5722,60	6071,41
Średnie dzienne pobranie paszy na 1 szt.	kg	2,90	2,80
Średnie zużycie paszy na 1 kg przyrostu	kg	<u>3,17</u>	<u>2,95</u>
Ilość pobranej paszy	kg		
- w I fazie tuczu		8714,27	8630,60
- w II fazie tuczu		9436,56	9246,78
Zrealizowany przyrost	kg		
- w I fazie tuczu		2972,06	3060,89
- w II fazie tuczu		2750,54	3010,52
Zużycie paszy na 1 kg przyrostu	kg		
- w I fazie tuczu		2,93	2,82
- w II fazie tuczu		3,43	3,07

Tabela 3. Wyniki oceny jakości badanych tusz

Wyszczególnienie		Badane grupy	
		K	D
Liczba badanych tusz,	n	73	71
Masa tuszy ciepłej,	kg	87,06 ± 5,25	88,42 ± 4,64
Pomiary UFOM,	mm		
- grubość słoniny		18,65 ± 4,71	17,66 ± 4,60
- grubość mięśnia połówicy		58,06 ± 5,18	59,25 ± 5,70
- mięśność tuszy,	%	55,39^a ± 3,14	57,84^b ± 2,92
Pomiary liniowe tusz			
Liczba badanych tusz	n	30	30
- długość tuszy,	cm	80,92 ± 2,40	81,60 ± 2,68
- grubość słoniny nad łopatką,	mm	33,13 ± 5,59	30,83 ± 4,97
- grubość słoniny na grzbiecie	mm	19,10 ± 5,52	19,30 ± 4,35
- grubość słoniny			
I krzyż		18,73 ± 4,10	18,20 ± 3,99
II krzyż		13,33 ± 5,65	11,77 ± 3,99
III krzyż		18,40 ± 5,41	16,77 ± 4,44
- grubość słoniny, średnia z 5 pomiarów	mm	20,54 ± 4,76	19,37 ± 3,71

a, b – różnice statystycznie istotne, $P \leq 0,05$

Tabela 4. Struktura mięsności w klasach systemu EUROP

Klasa mięsności	Badane grupy			
	K		D	
	n	%	n	%
S	3	4,11	9	12,68
E	39	53,42	48	67,60
U	29	39,73	13	18,31
R	1	1,37	1	1,41
O	1	1,37	0	0
Razem	73	100	71	100

Tabela 5. Wyniki rozbioru technologicznego póltusz

Wyszczególnienie		Badane grupy	
		K	D
Liczba badanych póltusz,	n	30	30
Masa póltuszy zimnej	kg	42,35 ± 2,58	42,87 ± 2,33
	%	100,00	100,00
Masa ważniejszych wyrebów:			
- karkówki	kg	3,92 ± 0,61	3,97 ± 0,57
	%	9,26	9,26
- łopatki	kg	6,48 ± 0,34	6,41 ± 0,46
	%	15,31	14,96
- polędwicy	kg	5,74 ± 0,35	5,76 ± 0,48
	%	13,56	13,44
- szynki	kg	10,40 ± 0,71	10,38 ± 0,57
	%	24,56	24,22
- boczku	kg	3,24 ± 0,16	3,05 ± 0,23
	%	7,65	7,12
- polędwiczk	kg	0,32 ± 0,04	0,33 ± 0,04
	%	0,76	0,77

Tabela 6. Wyniki uproszczonej dysekcji ważniejszych wyrębów tusz badanych zwierząt

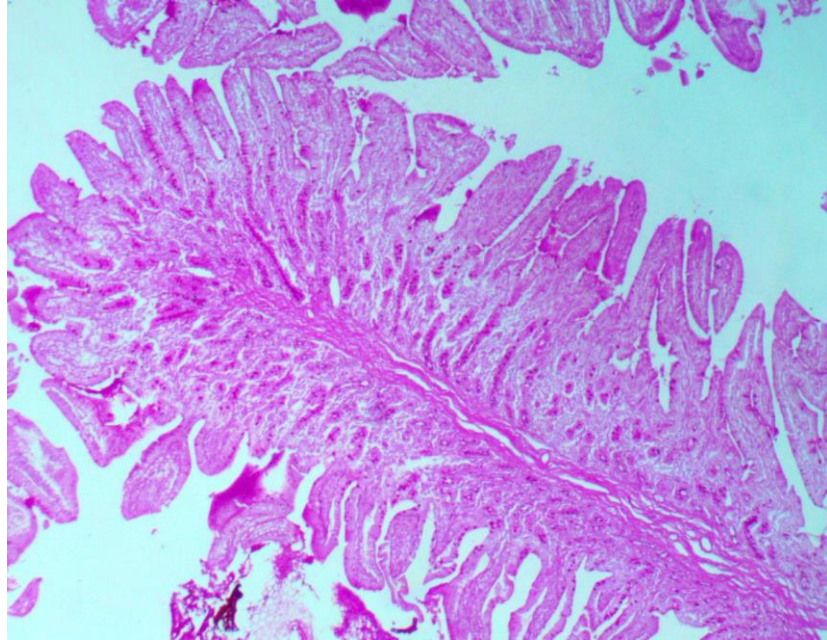
Wyszczególnienie		Badane grupy	
		K	D
Wyniki dysekcji szynki			
masa wyrębu,	kg	10,40 ± 0,71	10,38 ± 0,57
	%	100,00	100,00
w tym:			
- mięso	kg	7,79 ± 0,78	7,93 ± 0,66
	%	7,49	7,64
- słonina ze skórą	kg	1,84 ± 0,37	1,68 ± 0,29
	%	1,77	1,62
- kości	kg	0,76 ± 0,12	0,76 ± 0,09
	%	0,73	0,73
Wyniki dysekcji karkówki			
masa wyrębu	kg	3,92 ± 0,61	3,97 ± 0,57
w tym:			
- słonina ze skórą	kg	0,77 ± 0,20	0,76 ± 0,27
	%	19,65	19,15
Wyniki dysekcji polędwicy			
masa wyrębu,	kg	5,74 ± 0,35	5,76 ± 0,49
w tym:			
- słonina ze skórą	kg	1,48 ± 0,29	1,32 ± 0,31
	%	25,79	22,92

Tabela 7. Ważniejsze wyniki oceny jakości mięsa

Wyszczególnienie		Badane grupy	
		K	D
Liczba badanych zwierząt,	n	30	30
Skład chemiczny mięsa,	%		
- woda		72,37 ± 0,85	72,33 ± 0,61
- białko		24,87 ± 0,61	25,06 ± 0,70
- tłuszcz		1,39 ± 0,95	1,30 ± 0,68
- kolagen		1,51 ± 0,12	1,56 ± 0,16
Swobodny wyciek soku,	%	6,15 ± 2,69	6,67 ± 2,35
Termiczny wyciek soku,	%	24,83 ± 1,97	24,18 ± 2,37
Barwa mięsa, Minolta			
L*		56,59 ± 2,06	56,54 ± 2,90
a*		14,04 ± 0,82	14,04 ± 0,94
b*		4,63 ± 0,90	4,38 ± 1,16
Zawartość barwników,	µg/g	35,88 ± 8,57	34,70 ± 8,03

Tabela 8. Wpływ dodatku probiotyku na morfologię jelita czczego świń

Wyszczególnienie	Badane grupy	
	K	D
Wysokość kosmków (μm)	336,2 \pm 9,2	353,4 \pm 9,0
Szerokość kosmków (μm)	99,3 \pm 2,7	97,1 \pm 2,3
Pole powierzchni kosmków (μm^2)	109609,4 \pm 5375,4	110474,5 \pm 4785,3
Głębokość krypt (μm)	218,6 \pm 5,1	183,4 \pm 3,7



Fot. 1. Obraz mikroskopowy jelita czczego świni nr 127 (grupa z probiotykiem). Reakcja PAS. Pow. 40x

Tabela 9. Ogólna liczba bakterii w powietrzu (jtk/m³)

Seria pomiarowa	Punkty pomiarowe						Razem	
	K1	K2	K3	D1	D2	D3	K	D
I	11 932	7 403	2 381	6 094	6 681	5 605	7 239	6 127
II	150 828	106 284	45 202	46 740	40 791	38 577	100 771	42 036
III	111 995	47 981	60 722	76 856	76 263	34 229	73 566	62 449
IV	132 772	111 040	55 414	135 669	103 822	31 210	99 742	90 234
Średnio	101 882	68 177	40 930	66 340	56 889	27 405	70 330	50 211

Tabela 10. Ogólna liczba grzybów w powietrzu (jtk/m³)

Seria pomiarowa	Punkty pomiarowe						Razem	
	K1	K2	K3	D1	D2	D3	K	D
I	336	478	354	171	552	396	389	373
II	4 628	2 463	1 762	1 380	1 104	2 994	2 951	1 826
III	2 314	1 104	722	1 783	1 953	679	1 380	1 472
IV	3 758	2 293	1 192	2 824	3 376	828	2 414	2 343
Średnio	2 759	1 585	1 008	1 540	1 746	1 224	1 784	1 503

Tabela 11. Zawartość domieszek gazowych

Seria pomiarowa	Amoniak (ppm)		Siarkowodór (ppm)		Dwutlenek węgla (%)	
	K	D	K	D	K	D
II	1,0	0,0	0	0	0,1	0,1
III	5,0	1,0	0	0	0,2	0,1
IV	0,5	0,0	0	0	0,1	0,1